УДК.550.348

**Миркин Е.Л., Багманова Н.Х.** Институт сейсмологии НАН КР, г. Бишкек, Кыргызстан

## ЭМПИРИЧЕСКИЕ МОДЕЛИ ЗАВИСИМОСТЕЙ СЕЙСМИЧЕСКИХ ПАРАМЕТРОВ ЗЕМЛЕТРЯСЕНИЙ, ПРОИЗОШЕДШИХ НА ТЕРРИТОРИИ КЫРГЫЗСТАНА

**Аннотация.** В работе получены линейные и нелинейные эмпирические модели зависимостей сейсмических параметров  $K = \mathrm{f}(M_{LH},h)$  и  $K = \mathrm{f}(I,h)$  землетрясений для территории Кыргызстана.

**Ключевые слова:** энергетический класс землетрясения, магнитуда, макросейсмические данные, интенсивность сотрясений, эмпирические модели, нелинейные модели.

## КЫРГЫЗСТАНДЫН ТЕРРИТОРИЯСЫНДА БОЛГОН ЖЕР ТИТИРҮҮЛӨРДҮН СЕЙСМИКАЛЫК ПАРАМЕТРЛЕРИНЕ КӨЗ КАРАНДЫ БОЛГОН ЭМПИРИКАЛЫК МОДЕЛДЕР

**Кыскача мазмуну.** Кыргызстандагы жер титирөөлөрдүн  $K = \mathrm{f}(M_{LH},h)$  жана  $K = \mathrm{f}(I,h)$  сейсмикалык параметрлеринин ортосундагы байланыштын сызыктуу жана сызыктуу эмес эмпирикалык моделдери иштелип чыккан.

**Негизги сөздөр:** жер титирөөнүн энергетикалык классы, магнитудасы, макросейсмикалык маалыматтар, титирөө интенсивдүүлүгү, эмпирикалык моделдер, сызыктуу эмес моделдер.

## EMPIRICAL MODELS OF DEPENDENCIES OF SEISMIC PARAMETERS OF EARTHQUAKES THAT OCCURRED IN THE TERRITORY OF KYRGYZSTAN

**Abstract.** Linear and nonlinear empirical models of the relationships between  $K = f(M_{LH}, h)$  and K = f(I, h) seismic parameters of earthquakes in Kyrgyzstan were obtained.

**Keywords:** earthquake energy class, magnitude, macroseismic data, shaking intensity, empirical models, nonlinear models.

В практике сейсмической обработки цифровых данных, полученных из различных источников, часто требуется преобразовать некоторые сейсмические параметры, имеющие схожий смысл, но вычисленные различными методами, в аналогичные нужные для конкретных расчётов. Как правило, для этих целей задают произвольные эмпирические модели [1, 2], известные с точностью до параметров с целью последующего определения этих параметров по накопленным статистическим данным, собранным в пределах заданной территории. Идентифицированные модели будут учитывать особенности строения земной коры территории, где осуществлялся сбор данных для моделей. Таким образом, полученные эмпирические модели становятся пригодными для практического использования в пределах этой территории.

Для многих практических задач, решаемых в Институте сейсмологии НАН КР, наиболее востребованы эмпирические модели зависимостей следующих сейсмических параметров:

К – энергетический класс землетрясения;

M — магнитуда землетрясения;

*I* – интенсивность сотрясений;

h – глубина очага землетрясения.

Для построения эмпирических моделей связей сейсмических величин использовалась база данных землетрясений (до 2019 г.) с магнитудой  $M_{LH} \ge 4.6\,$  и макросейсмические данные 84 землетрясений [3, 4], произошедших в пределах координат  $\varphi \in [39^\circ \ 44^\circ]\,$  восточной долготы,  $\lambda \in [69^\circ \ 81^\circ]\,$  северной широты. Так для построения модели зависимости энергетического класса K от магнитуды  $M_{LH}$  было отобрано 195 сейсмических событий с измеренными параметрами —  $(K, M_{LH}, h)$ , а для модели зависимости энергетического класса K от интенсивности сотрясений I было отобрано 170 сейсмических событий с измеренными параметрами — (K, I, h) [5].

В качестве эмпирических моделей были использованы линейные модели, не учитывающие глубину h залегания очага землетрясения:

$$K = c_{M1}M + c_{M2};$$
  

$$K = c_{I1}I + c_{I2},$$
(1)

и нелинейные модели, учитывающие глубину h залегания очага землетрясения:

$$K = c_{Mh1}M + c_{Mh2}h + c_{Mh3}h^{2} + c_{Mh4};$$
  

$$K = c_{Ih1}I + c_{Ih2}h + c_{Ih3}h^{2} + c_{Ih4},$$
(2)

где  $c_{Mi}$ ,  $c_{Ii}$ ,  $(i=\overline{1,2})$  и  $c_{Mhi}$ ,  $c_{Ihi}$ ,  $(i=\overline{1,4})$  — неизвестные параметры линейных и нелинейных моделей, подлежащих определению.

Идентификацию параметров линейных и нелинейных моделей (1), (2) будем проводить, используя метод наименьших квадратов. Результаты идентификации линейных и нелинейных моделей представлены на рисунках 1 и 2.

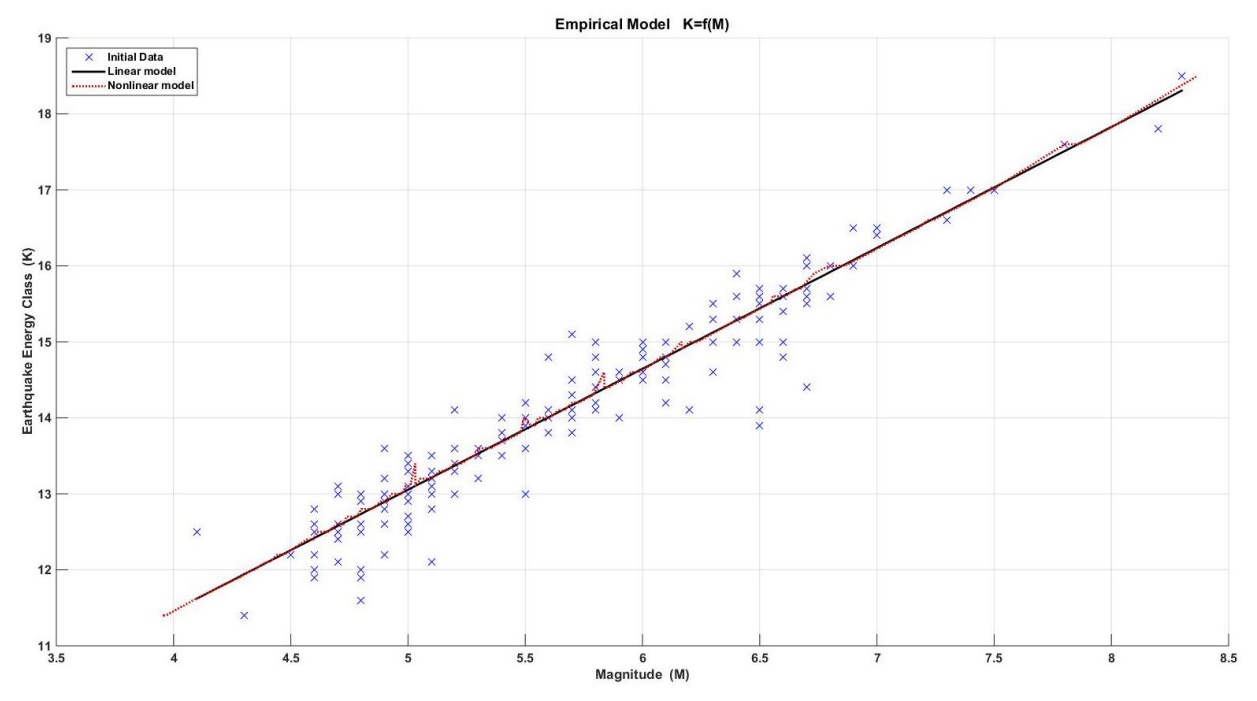


Рисунок 1. Результаты идентификации эмпирических линейных и нелинейных моделей зависимостей  $K = \mathrm{f}(M_{IH},h)$  по 195 сейсмическим событиям.

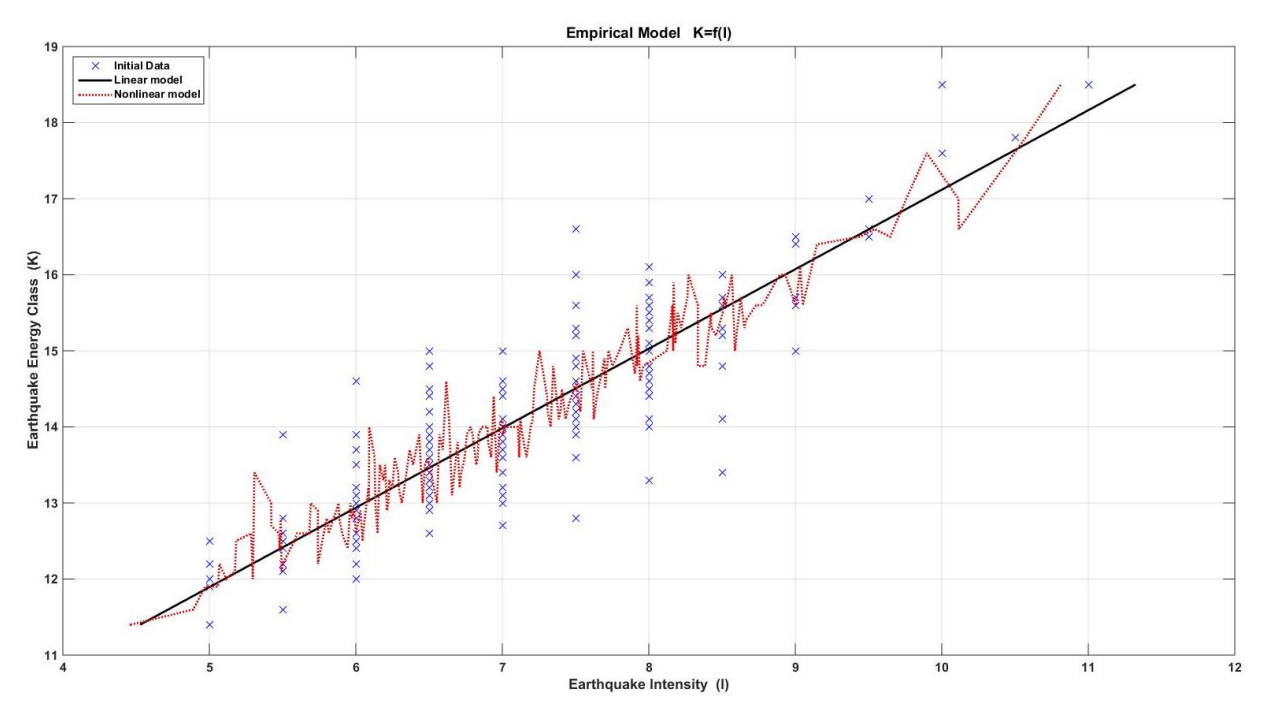


Рисунок 2. Результаты идентификации эмпирических линейных и нелинейных моделей зависимостей  $K = \mathrm{f}(I,h)$  по 170 сейсмическим событиям.

Значения параметров и сравнительный анализ качества линейных и нелинейных эмпирических моделей приведён в таблице 1.

Таблица 1- Сравнительный анализ качества линейных и нелинейных моделей.

Результаты идентификации эмпирических линейных и нелинейных моделей зависимостей $K = \mathrm{f}\left(M_{LH},h\right)$ по 195 сейсмическим событиям							Средняя ошибка модели	
Параметры	$c_{M1}$	$c_{M2}$	$c_{Mh1}$	$c_{Mh2}$	$C_{Mh3}$	$C_{Mh4}$	$Er_{M}$	$Er_{Mh}$
Линейная модель	1.5912	5.0977					0.1001	
Нелинейная модель			1.5908	0.0092	0.0002	5.1718		0.0992
Результаты идентификации эмпирических линейных и нелинейных моделей зависимостей $K = \mathrm{f}(I,h)$ по 170 сейсмическим событиям							Средняя ошибка модели	
Параметры	$c_{I1}$	$c_{I2}$	$c_{Ih1}$	$c_{Ih2}$	$c_{Ih3}$	$c_{Ih4}$	$Er_I$	$Er_{Ih}$
Линейная модель	1.0450	6.6684					0.3077	
Нелинейная модель			0.9837	0.0523	0.0003	6.2987		0.2584

Сравнивая качество линейных и нелинейных эмпирических моделей (таблица 1), видим, что для зависимости  $K = \mathrm{f}(M_{LH},h)$  нелинейная модель лучше линейной приблизительно на 1 процент, а для зависимости  $K = \mathrm{f}(I,h)$  нелинейная модель лучше линейной приблизительно на 19 процентов. Поэтому в первом случае можно пользоваться более простой линейной моделью, а во втором случае нелинейной. Заметим, что пересчёт величины интенсивности сотрясений I в магнитуду  $M_{LH}$  потенциального землетрясения с глубиной очага h может быть проведён путём использования коэффициентов двух полученных эмпирических моделей. Другими словами сначала находим для заданной интенсивности сотрясений I энергетический класс K по второй модели, затем по первой модели определяем магнитуду  $M_{LH}$ .

Таким образом в работе получены линейные и нелинейные эмпирические модели следующих зависимостей  $K = \mathrm{f}(M_{LH},h)$  и  $K = \mathrm{f}(I,h)$  для территории Кыргызстана. Модели позволяют пересчитывать требуемые сейсмические параметры, имеющие схожий смысл, но вычисленные различными методами, в аналогичные нужные для других конкретных расчётов.

## ЛИТЕРАТУРА

- 1. Мамыров Э. Управляющие параметры соотношений магнитуда сейсмическая энергия— сейсмический момент коровых землетрясений. Бишкек: Илим. 2014. 97 с.
- 2. Джанузаков К.Дж., Омуралиев М., Омуралиева А.М., Ильясов Б.И., Гребенникова В.В. Сильные землетрясения Тянь-Шаня (в пределах территории Кыргызстана и прилегающих районов стран Центральной Азии). Бишкек: Илим. 2003.- 215 с.
- 3. Гребенникова В.В., Миркин Е.Л. База Данных (БД) «SEISMIC INTENSITY» («СЕЙСМИЧЕСКАЯ ИНТЕНСИВНОСТЬ») Кыргызпатент. Авторское свидетельство № 25 от 17 июля 2015 г.
- 4. Гребенникова В.В., Миркин Е.Л. Метод оперативного расчета интенсивности сейсмических сотрясений в населенных пунктах Кыргызстана при сильных землетрясениях. В сб.: Землетрясения Северной Евразии. 2011. Обнинск, 2017. 495-501 с.
- 5. Абдрахматов К.Е., Берёзина А.В., Уокер Р., Фролова А.Г. и др. Землетрясения Кыргызстана. Бишкек: 2022. 206 с.

Рецензент: к. ф.-м.н. Фролова А.Г.